

Член-корреспондент АН СССР Э. И. ГРИГОЛЮК, А. Г. ГОРШКОВ

**ДЕЙСТВИЕ АКУСТИЧЕСКОЙ ВОЛНЫ ДАВЛЕНИЯ  
НА УПРУГУЮ КОНИЧЕСКУЮ ОБОЛОЧКУ, ЗАКРЕПЛЕННУЮ  
В ЭКРАНЕ**

Переходные процессы распространения волн деформации в упругих тонких конических оболочках, вызванные воздействием различного рода подвижных и ударных нагрузок, исследованы еще недостаточно. Небольшое число публикаций по этой проблеме объясняется большими математическими трудностями, с которыми приходится сталкиваться при ее изучении. Еще большие математические трудности возникают при анализе переходных процессов в погруженных в жидкость конических оболочках при действии на них ударных волн (наличие вершины, переменные коэффициенты в уравнениях движения оболочки).

В работе рассматривается простейший случай взаимодействия тонкой упругой усеченной конической оболочки с плоской акустической ступенчатой волной давления  $p_1$ , распространяющейся вдоль оси оболочки (осесимметрическая задача). Предполагается, что оболочка закреплена в абсолютно жестком неподвижном коническом экране. Гидродинамическое давление  $p$ , действующее на оболочку, представляется в виде суммы трех слагаемых <sup>(1)</sup>. Для определения составляющей суммарного давления  $p_2$  (давление в волне, отраженной от жесткой и неподвижной оболочки) используются результаты работы <sup>(2)</sup>, где решена осесимметрическая задача дифракции акустической волны давления на жестком конусе произвольного угла раствора. Давление  $p_3$  (обусловленное движением оболочки) учитывается приближенно на основании гипотезы плоского излучения. Таким образом, при действии ступенчатой волны давления на упругую коническую оболочку, вставленную в жесткий конический экран, выражение для суммарного давления  $p$  можно записать в форме

$$p = p_0 f(t, r, \theta_0) H(ct - r \cos \theta_0) \pm \rho c \dot{w}. \quad (1)$$

Здесь  $p_0$  — давление на фронте падающей волны;  $f$  — функция, аппроксимирующая решение <sup>(2)</sup>,  $r$  — радиус-вектор сферической системы координат с началом в вершине конуса,  $H$  — единичная функция Хевисайда,  $\theta_0$  — угол полураствора конуса,  $w$  — прогиб оболочки по нормали к срединной поверхности,  $\rho$ ,  $c$  — плотность жидкости и скорость звука в ней. Функция  $f$  характеризует изменение давления  $p_1 + p_2$  на жестком неподвижном конусе и учитывает дифракционные эффекты, связанные с вершиной конуса.

При составлении уравнений движения конической оболочки будем исходить из уточненных нелинейных уравнений теории тонких оболочек вращения типа С. П. Тимошенко <sup>(3)</sup>. Для оболочки вращения за координаты можно принять длину дуги меридиана  $s$  и азимут  $\theta$ . При осесимметрических деформациях оболочки состояние ее будет зависеть только от одной координаты  $s$ . Тогда нелинейные уравнения движения симметрично нагруженных оболочек вращения под действием внешнего давления  $p$  можно записать в форме

$$\begin{aligned} \gamma \ddot{U} &= (N_1 - \varphi Q)' + \psi(N_1 - N_2 - \varphi Q) + k_1(Q + \theta N_1) + \varphi p^*(1 - \mu^2) / k^2, \\ \gamma \ddot{W} &= (Q + \theta N_1)' + \psi(Q + \theta N_1) - k_1(N_1 - \varphi Q) - k_2 N_2 - p^*(1 - \mu^2) / k^2, \\ \gamma \ddot{\varphi} &= -M_1 - \psi(M_1 - M_2) + k^3 Q / 12. \end{aligned} \quad (2)$$

Здесь введены следующие безразмерные параметры:

$$U = u / h, \quad W = w / h, \quad \tau = ct / R, \quad k = h / R,$$

$$\gamma = \rho_0 (1 - \mu^2) c^2 / E, \quad p^* = p / E, \quad a = s / R, \quad k_1 = R / R_1, \quad (3)$$

$$N_i = (1 - \mu^2) N_i^0 / (E h k), \quad Q = (1 - \mu^2) Q^0 / (E h k), \quad k_2 = R / R_2,$$

$$M_i = 12 (1 - \mu^2) M_i^0 / (E h^2 k), \quad \theta = k (W' - k_1 U), \quad \psi = A_2' / A_2,$$

где  $u, w$  — перемещения точек срединной поверхности оболочки вдоль меридиана и по нормали к срединной поверхности,  $\varphi$  — угол поворота нормали при деформации,  $N_i^0, M_i^0, i = 1, 2$  — удельные нормальные усилия и

моменты, действующие в срединной поверхности оболочки,  $Q^0$  — удельная перерезывающая сила,  $h, R$  — толщина и характерный линейный размер оболочки,  $\rho_0, E$ ,  $\mu$  — плотность, модуль Юнга и коэффициент Пуассона материала оболочки соответственно:  $A_2$  — параметр Ламе ( $A_1 = 1$ ).

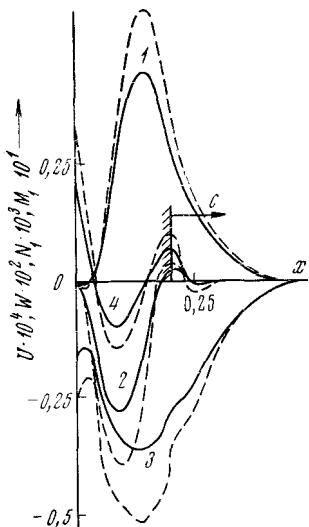


Рис. 1

Рис. 1. Эпюры перемещения  $U$  (1), нормального прогиба  $W$  (2), усилия  $N_1$  (3) и момента  $M_1$  (4) при  $\tau = 0,15$

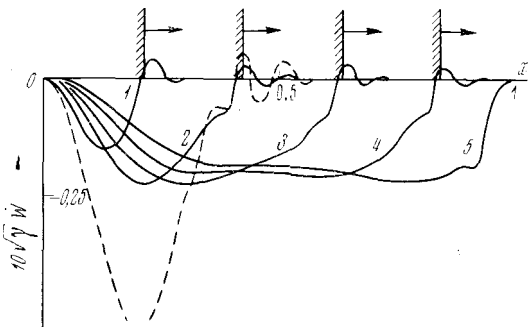


Рис. 2

Рис. 2. Эпюры скоростей  $W$  для различных моментов времени  $\tau$ : 1 — 0,15; 2 — 0,3; 3 — 0,45; 4 — 0,6; 5 — 0,75. Пунктиром показана кривая  $\bar{W}$ , вычисленная без учета давления излучения ( $\tau = 0,3$ )

Усилия и моменты с перемещениями  $U, W$  и углом поворота  $\varphi$  связаны соотношениями

$$N_1 = \varepsilon_1 + \mu \varepsilon_2, \quad M_1 = -\kappa_1 - \mu \kappa_2 \quad (1 \Leftrightarrow 2),$$

$$\varepsilon_1 = U' + k_1 W + \theta^2 / (2k), \quad \varepsilon_2 = \psi U + k_2 W, \quad (4)$$

$$\kappa_1 = \varphi', \quad \kappa_2 = \varphi \psi, \quad Q = (1 - \mu) b^2 (\theta - \varphi) / (2k), \quad b^2 = 0,86.$$

Соотношения (4) получены на основании закона Гука с учетом геометрической нелинейности для компонент деформации и сдвига в плоскости  $sz$  (ось  $z$  направлена в сторону внешней нормали); при этом предполагалось, что касательные напряжения по толщине оболочки распределены по параболическому закону.

В случае конической оболочки  $R_1 = \infty$ ,  $R_2 = s / \operatorname{tg} \beta$ ,  $A_2 = s \cos \beta$ ,  $R = (r_1 + r_2) / 2$ , где  $\beta$  — угол наклона образующей к основанию,  $r_1$  — радиус меньшего основания,  $r_2$  — радиус большего основания.

За начальный момент времени  $t = 0$  принимается момент достижения полной давления меньшего основания оболочки с координатой  $a_1 = s_1 / R$ .

Уравнения движения (2) для случая жесткого защемления торцов при нулевых начальных условиях интегрировались методом прямых с использованием метода Кутта — Мерсона (с автоматическим выбором шага во времени). Алгоритм решения был запрограммирован на языке АЛГОЛ-60 и реализован на ЭВМ БЭСМ-6. Следует отметить, что при наличии в решениях фронтовых разрывов данный алгоритм не позволяет исследовать их достаточно точно.

Численные расчеты проводились для стальной оболочки, погруженной в воду, при давлении на фронте волны  $p_0^* = p_0 / E = 0,5 \cdot 10^{-5}$ . Геометрические размеры оболочки:  $\beta = 45^\circ$ ,  $k = 0,01$ ,  $a_1 = 0,915$ ,  $a_2 = s_2 / R = 1,915$ , где  $a_2$  — координата большего основания оболочки. При заданной геометрии волна давления пробегает оболочку за время  $\tau = \sin \beta$ .

На рис. 1 показаны эпюры перемещения  $U$ , нормального прогиба  $W$ , усилия  $N_1$  и момента  $M_1$  в момент времени  $\tau = 0,15$  (где  $x = a - a_1$  — относительное расстояние от меньшего основания оболочки). Вертикальной чертой отмечено положение фронта волны на оболочке. Для сравнения на этом же рисунке пунктиром показаны результаты соответствующих расчетов, выполненных без учета давления излучения ( $p_3 = 0$ ).

Эпюры скоростей  $\dot{W}$  для различных моментов времени представлены на рис. 2; положение фронта волны для этих моментов времени отмечено вертикальными линиями. При  $\tau = 0,75$  положение фронта определяется координатой  $x = 1,06$  (на рис. 2 она не приводится). Функция  $f$  во всех расчетах аппроксимировалась многочленом.

Численные расчеты проводились и для больших моментов времени, но для их обоснования необходимы дополнительные исследования относительно пределов применимости приближенных подходов к определению гидродинамических сил.

Авторы выражают благодарность В. М. Мяченкову за помощь при составлении алгоритма.

Научно-исследовательский институт механики  
Московского государственного университета  
им. М. В. Ломоносова

Поступило  
31 VIII 1971

#### ЦИТИРОВАННАЯ ЛИТЕРАТУРА

- <sup>1</sup> Э. И. Григолюк, А. Г. Горшков, Взаимодействие слабых ударных волн с упругими конструкциями, Научн. тр. Инст. механики МГУ, № 2, 1970. <sup>2</sup> В. Г. Поручиков, ПММ, 32, в. 2, 319 (1968). <sup>3</sup> П. М. Огibalов, Вопросы динамики и устойчивости оболочек, М., 1963.